

Comment monitorer la profondeur de l'anesthésie et de l'analgésie?

Anesthésie générale

Perte de conscience

pas de communication
pas de mémorisation

Paralysie

Atténuation de la réponse au stress nociceptif

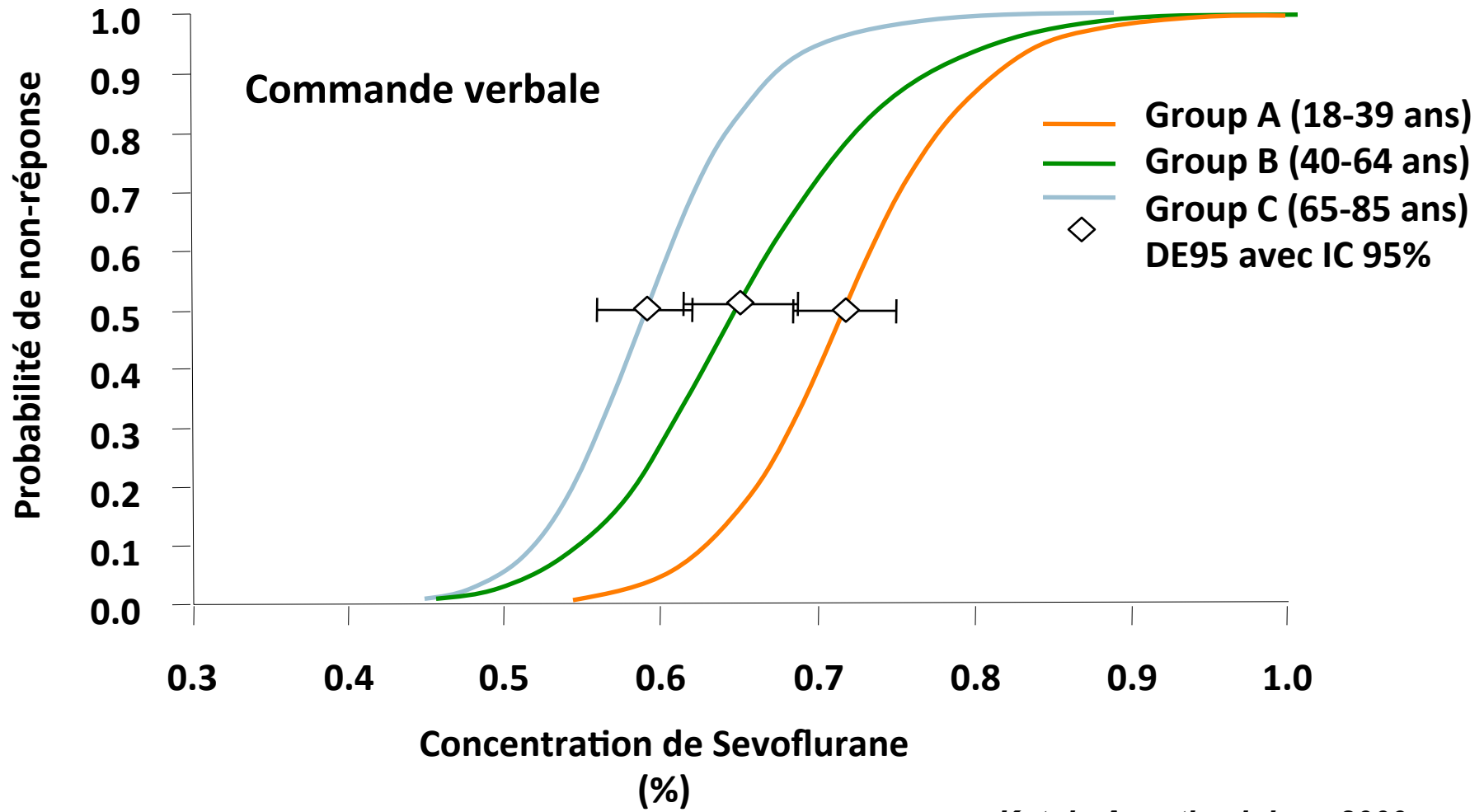
somatique: motrice...
végétative: ventilatoire, hémodynam., endocrinienne, sudatoire...

Perte de réponse aux ordres simples
Amnésie antérograde

Monitorage clinique

Mouvement
Activation du SNA

Influence de l'âge sur la demande anesthésique, lors d'une sédation induite par le sévoflurane



Monitorage neurophysiologique

- Analyse automatique de l'EEG
 - Spontané
 - Index bispectral: BIS®
 - Entropie spectrale: M-entropy ®
 - *Narcotrend* ®
 - *Cerebral state index*: CSM ®
 - *Patient state index*: PSA4000 ®, SEDline ®
 - *SNAP II* ®
 - Potentiels évoqués
 - PEA: A-line ®
- Monitorage du système nerveux autonome
 - Surgical stress index: SPI ®
 - Pupillométrie
 - Variabilité de la fréquence cardiaque: ANI®
 - *Skin flowmetry*: laser doppler flowmeter

Hypnose
Analgésie

Monitorage neurophysiologique de la profondeur de l'anesthésie

- **Analyse automatique de l'EEG**
 - **Change-t-elle la conduite de l'anesthésie?**
 - **Modifie-t-elle la stratégie d'administration des agents?
Chez quels patients?**
 - **Diminue-t-elle la morbidité?**
- **Les techniques de mesure du système nerveux autonome**

Index bispectral pour améliorer la conduite de l'anesthésie et la récupération postopératoire

20 études : 4 056 patients

| Paramètre | Gain (IC 95%) | n |
|---------------------------------|-------------------------------------|--------------|
| Consommation | | |
| - Propofol | - 1,30 mg/kg/h (- 1,97, - 0,62) | 578 |
| - Halogénés | - 0,17 equiv MAC (-0,27, - 0,07) | 689 |
| Ouverture des yeux | - 2,43 min (- 3,60, - 1,27) | 996 |
| Réponse commande verbale | - 2,28 min (- 3,47, - 1,09) | 717 |
| Extubation | - 3,05 min (- 3,98, - 2,11) | 1 057 |
| Orientation | - 2,46 min (- 3,21, - 1,71) | 316 |
| Séjour SSPI | - 6,83 min (- 12,08, - 1,58) | 584 |

| Moniteur | Nbre études | Diminution de la consommation des agents anesthésiques | Amélioration des paramètres de réveil |
|-------------------|--------------------|--|---|
| BIS | 37 | propofol : 9-50% (n=12) halogénés: 10-40% (n= 15) <i>10 études négatives (P=2, H=8)</i> | 2-3 min... 19 études + 10 études - |
| Entropie | 6 | propofol: 10-37% (n= 4) sévoflurane: 12-29% (n=2) | qq min... 2 études + 2 études - |
| PEA | 9 | propofol : 34% (n=1) halogénés: 19-29% (n= 5) 3 études négatives (H=3) | qq min... 6 études + 3 études - |
| Narcotrend | 4 | propofol: 24-33% (n=2) desflurane: 15% (n=1) 1 étude négative (P=1) | qq min.. 1 étude + 3 études - |

Benefit of EEG Guided Anaesthesia: A Meta-analysis

Nicolas PELLETIER, M.D., Sylvie PASSOT, M.D., Paul ZUFFEREY, M.D.,Ph.D., Serge MOLLIEX, M.D.,Ph.D.

CHU de Saint-Etienne, 42055 Saint-Etienne Cedex 2, France

43 studies (7937 patients) 1997-2010

- BIS: n=32
- Auditory Evoked Potentials: n=8
- Narcotrend: n= 3
- Entropy: n=5
- Cerebral state monitor: n=1
- Patient state index: n=1

| | Number of studies | Number of patients | Effect Size (ES) or Relative Risk (RR) [IC95%] | Proportion* |
|-----------------------------|-------------------|--------------------|---|-------------|
| ↓ Hypnotic amount | 38 | 3419 | ES=0,85 [0,64-1,06] § | 20% |
| ↓ Time to eye opening | 28 | 3669 | ES=0,51 [0,34-0,67] § | 31% |
| ↓ Time to verbal command | 10 | 1194 | ES=0,70 [0,39-1,02] § | 24% |
| ↓ Time to orientation | 11 | 749 | ES=0,74 [0,34-1,13] § | 23% |
| ↓ Time to extubation | 26 | 2546 | ES=0,64 [0,47-0,80] § | 26% |
| ↓ Length of stay in PACU | 20 | 2977 | ES=0,36 [0,17-0,54] § | 36% |
| Intraoperative hypotension | 12 | 1064 | RR=0,80 [0,70-0,91] § | |
| Intraoperative hypertension | 8 | 604 | RR=1,04 [0,77-1,39] | |
| Incidence of mémorisation | 26 | 6664 | RR=0,76 [0,42-1,38] | |
| Incidence of NVPO | 14 | 1204 | RR=0,86 [0,69-1,07] | |

§ p< 0,05

* Proportion of patients in the control group having a quantity of hypnotic consumed or a recovery time lower than the average of the monitored patients.

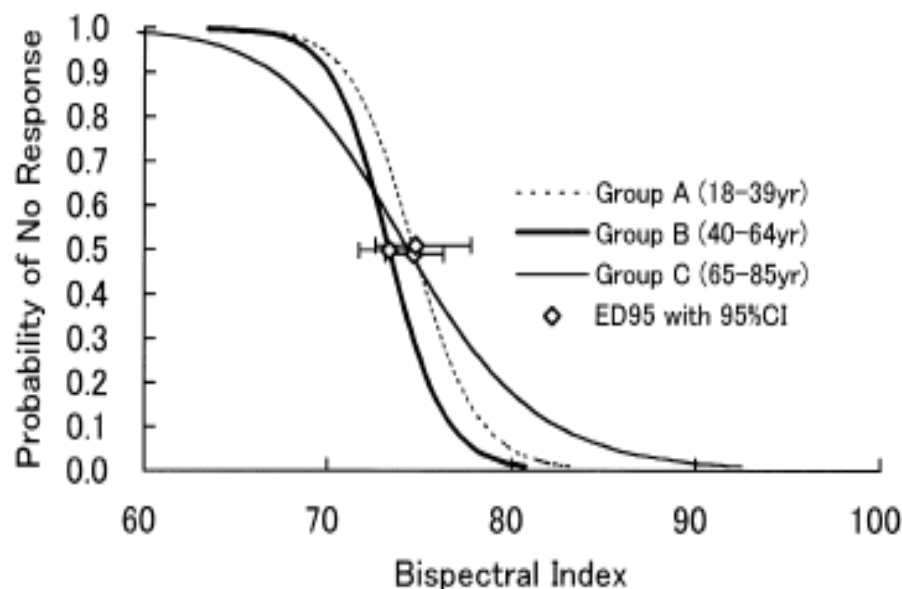
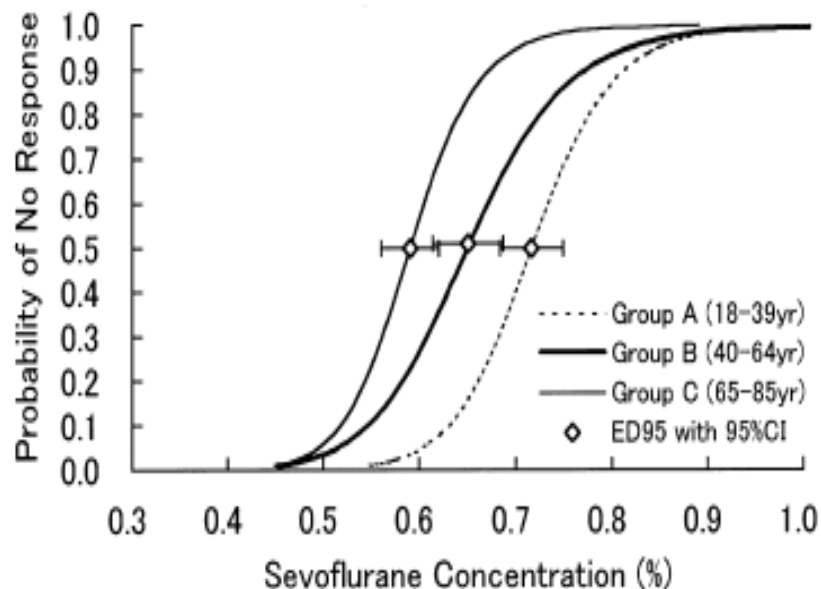
Monitorage neurophysiologique de la profondeur de l'anesthésie

- Analyse automatique de l'EEG
 - Change-t-elle la conduite de l'anesthésie?
 - Modifie-t-elle la stratégie d'administration des agents?
Chez quels patients?
 - Diminue-t-elle la morbidité?
- Les techniques de mesure du système nerveux autonome

Influence of Age on Hypnotic Requirement, Bispectral Index, and 95% Spectral Edge Frequency Associated with Sedation Induced by Sevoflurane

Takasumi Katoh, M.D.,* Hiromichi Bito, M.D.,* Shigehito Sato, M.D.†

Verbal response



Optimisation de la prise en charge anesthésique en chirurgie abdominale urgente chez le sujet âgé

Patients > 85 ans

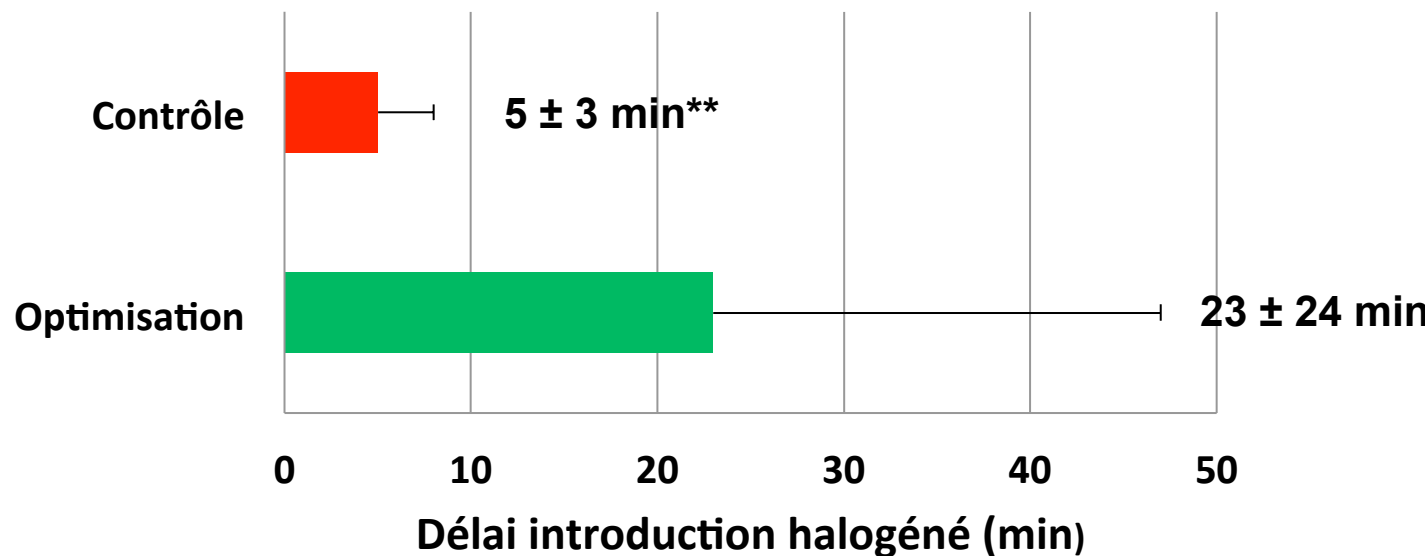
Introduction Halogéné :

- groupe optimisation si BIS > 55 :

- . avant incision

- . post incision après administration morphinique

- groupe contrôle : à discrédition



Effets de l'index bispectral en anesthésie ambulatoire

| Paramètres | N | Nb études | Guidé BIS (moy) | Contrôle, (moy) | OR (IC95%) | p |
|---|-------|-----------|-----------------|-----------------|--------------------------|--------|
| Rapport consom. anesthésiques, BIS/contrôle | 1,380 | 11 | 0.81 | 1 | 0.81 (0.73 to 0.89) | 0.0001 |
| Bypass, SSPI % | 562 | 2 | 32 | 29 | 1.01 (0.65 to 1.57) | 0.96 |
| Temps en SSPI, min | 851 | 5 | 45.2 | 49.1 | -4 (-7.3 to -0.8) | 0.01 |
| NVPO, % | 870 | 6 | 31.5 | 37.5 | 0.77 (0.56 to 0.99) | 0.04 |
| Délai sortie, min | 702 | 5 | 159 | 165 | -13.4 (-34.3 to -7.6) | 0.21 |

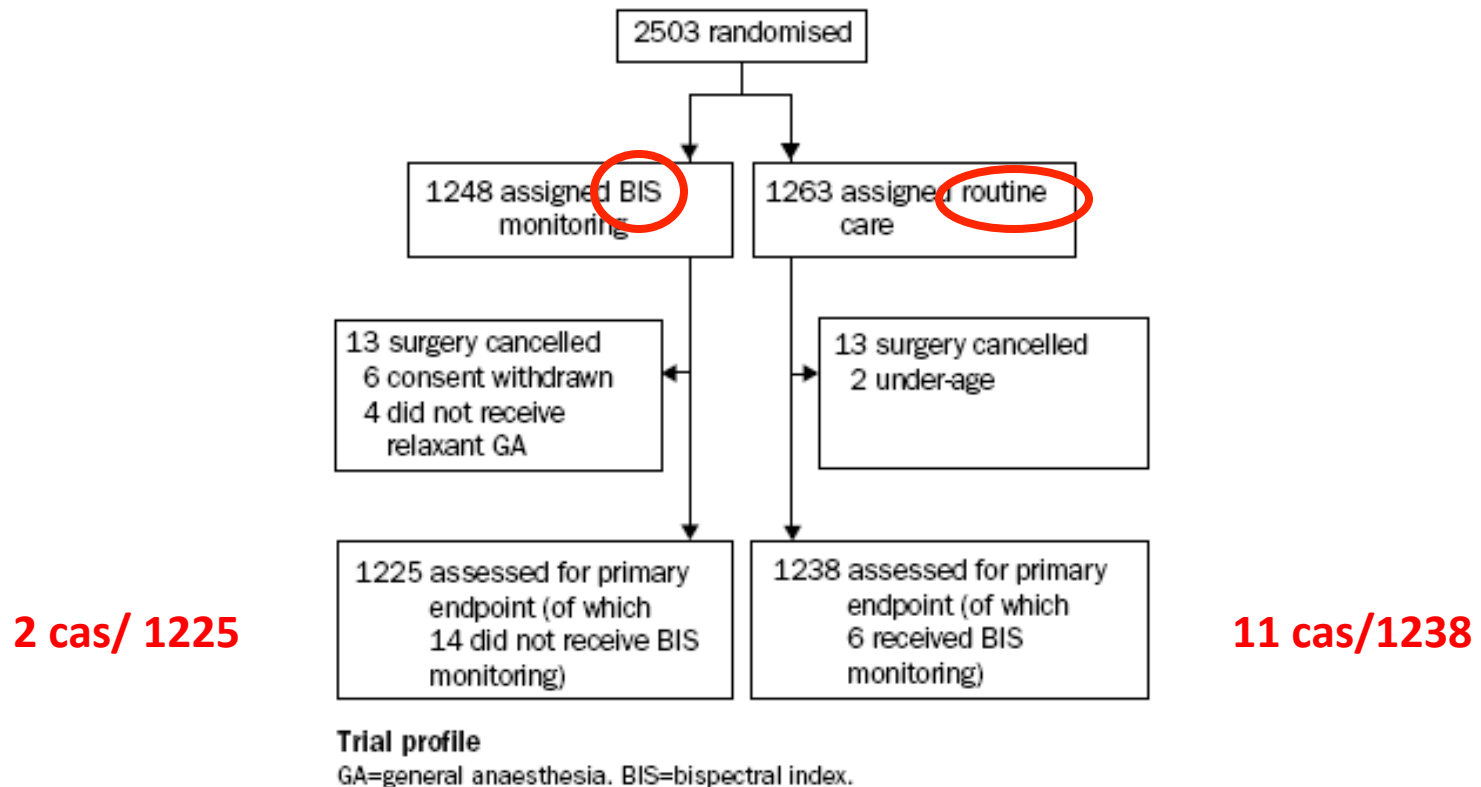
NNT = 17

Liu S, Anesthesiology 2004;101:311-5

Bispectral index monitoring to prevent awareness during anaesthesia: the B-Aware randomised controlled trial

P S Myles, K Leslie, J McNeil, A Forbes, M T V Chan, for the B-Aware trial group*

Lancet 2004; 363: 1757–63



Réduction du risque de 82 % (17-98%)
NNT = 138

Prevention of Intraoperative Awareness in a High-Risk Surgical Population

Michael S. Avidan

N Engl J Med 2011;365:591-600.

Table 3. Between-Group Comparison of Awareness Experiences.*

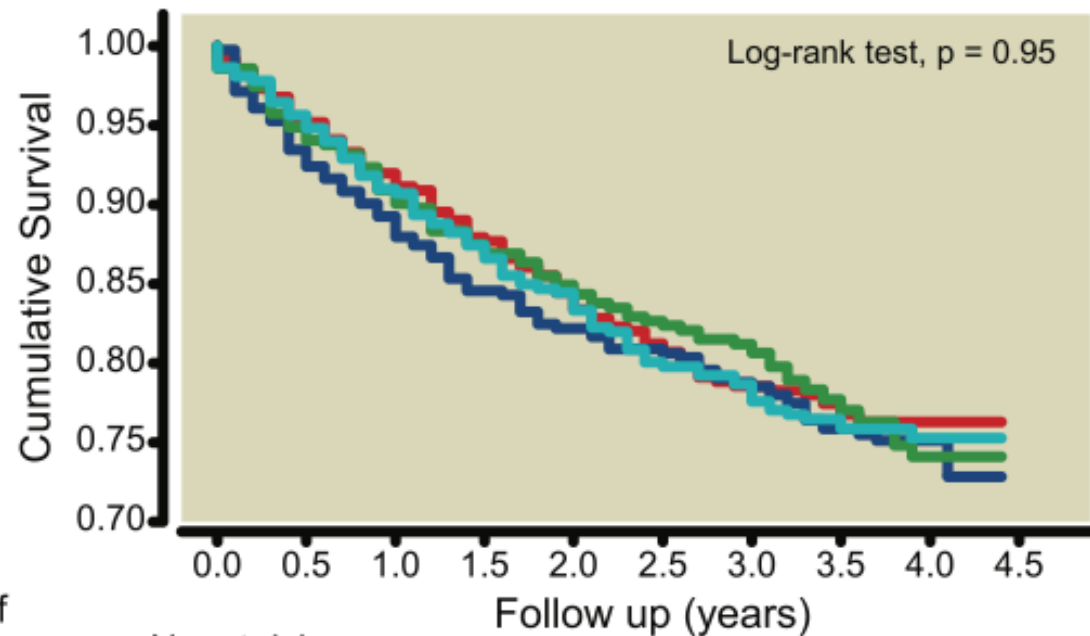
| Outcome | BIS Group (N=2861) | ETAC Group (N=2852) | P Value† | Difference, BIS-ETAC |
|---|-----------------------|------------------------|----------|----------------------------|
| | no. (%) | | | percentage points (95% CI) |
| Definite awareness: primary outcome | 7 (0.24) | 2 (0.07) | 0.98 | 0.17 (-0.03 to 0.38) |
| Definite or possible awareness: pre-specified secondary outcome | 19 (0.66) | 8 (0.28) | 0.99 | 0.38 (0.03 to 0.74) |
| Distressing experience of awareness: post hoc secondary outcome | 8 (0.28) | 1 (0.04) | 0.99 | 0.24 (0.04 to 0.45) |

Bispectral Index Monitoring, Duration of Bispectral Index Below 45, Patient Risk Factors, and Intermediate-term Mortality after Noncardiac Surgery in the B-Unaware Trial

Miklos D. Kertai

Anesthesiology 2011; 114: 545-56

BIS vs Non BIS: 24,9% vs 23,7%
BIS <45 : HR 1,03 (0,93-1,14)



Cumulative duration of bispectral index <45

≤ 0.4 hr

0.41 hr to 1 hr 17 min

1 hr 18 min to 2 hrs 37 min

> 2 hrs 38 min

No. at risk

| | | | | | | | | |
|-----|-----|-----|-----|-----|-----|-----|-----|----|
| 373 | 356 | 341 | 327 | 314 | 303 | 290 | 217 | 54 |
|-----|-----|-----|-----|-----|-----|-----|-----|----|

| | | | | | | | | |
|-----|-----|-----|-----|-----|-----|-----|-----|----|
| 382 | 354 | 339 | 323 | 314 | 308 | 297 | 229 | 84 |
|-----|-----|-----|-----|-----|-----|-----|-----|----|

| | | | | | | | | |
|-----|-----|-----|-----|-----|-----|-----|-----|----|
| 352 | 331 | 318 | 306 | 297 | 290 | 281 | 211 | 69 |
|-----|-----|-----|-----|-----|-----|-----|-----|----|

| | | | | | | | | |
|-----|-----|-----|-----|-----|-----|-----|-----|----|
| 366 | 348 | 333 | 317 | 306 | 293 | 286 | 227 | 81 |
|-----|-----|-----|-----|-----|-----|-----|-----|----|

Hospital Stay and Mortality Are Increased in Patients Having a “Triple Low” of Low Blood Pressure, Low Bispectral Index, and Low Minimum Alveolar Concentration of Volatile Anesthesia

Daniel I. Sessler, M.D.

Anesthesiology, V 116 • No 6 June 2012

24 120 non cardiac surgery patients

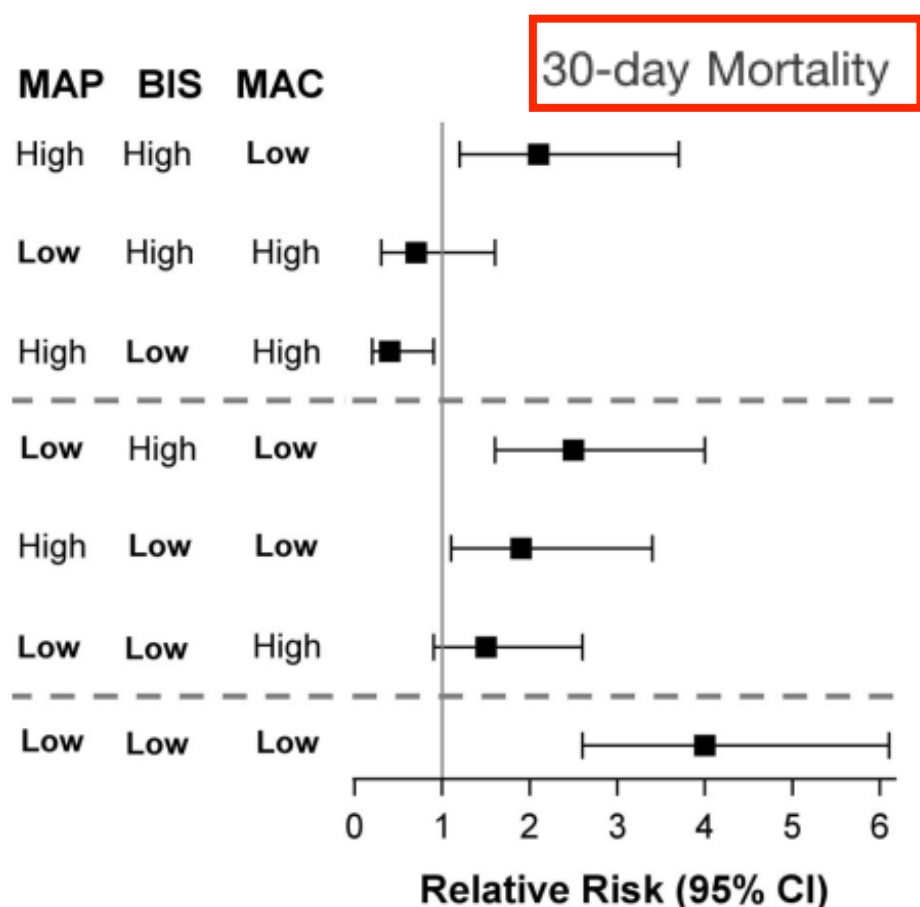
Adjustment: age

sex

comorbidities

surgical complexity

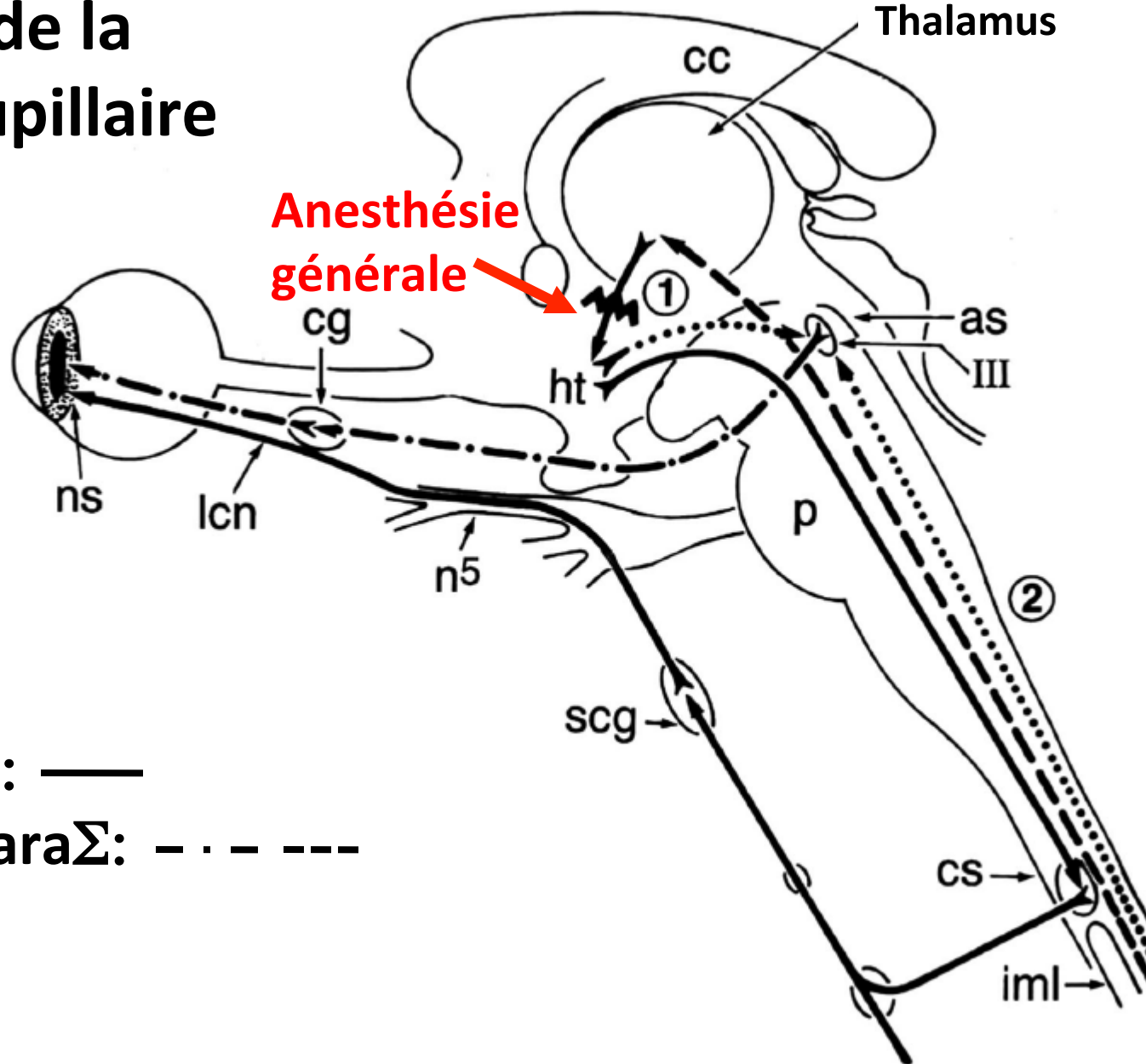
Low < mean \pm 1 SD < High



Monitorage neurophysiologique de la profondeur de l'anesthésie

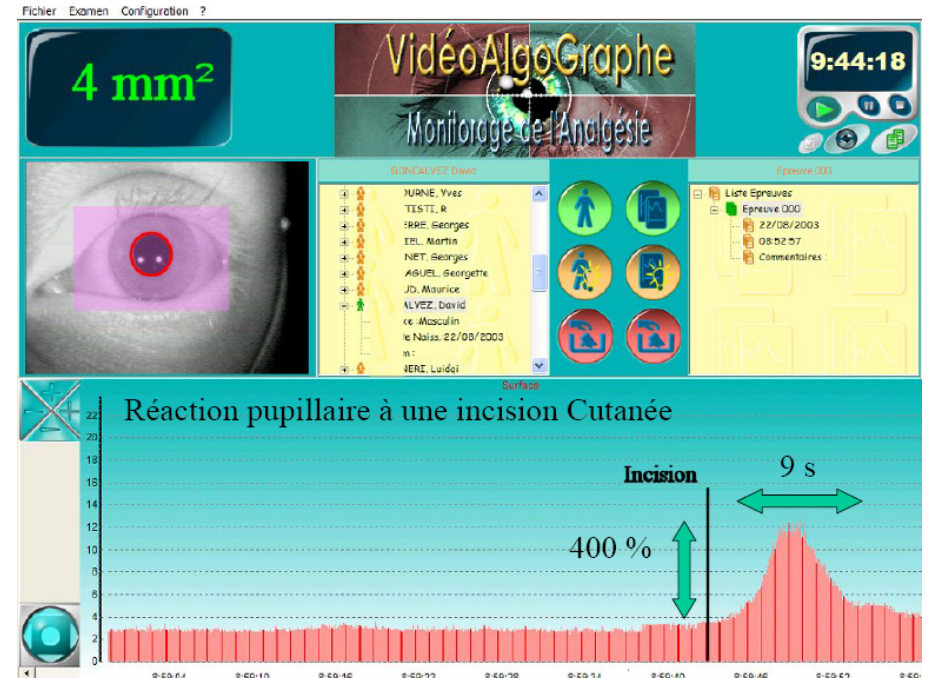
- Analyse automatique de l'EEG
 - Change-t-elle la conduite de l'anesthésie?
 - Modifie-t-elle la stratégie d'administration des agents?
Chez quels patients?
 - Diminue-t-elle la morbidité?
- **Les techniques de mesure du système nerveux autonome**

Mécanisme de la dilatation pupillaire réflexe

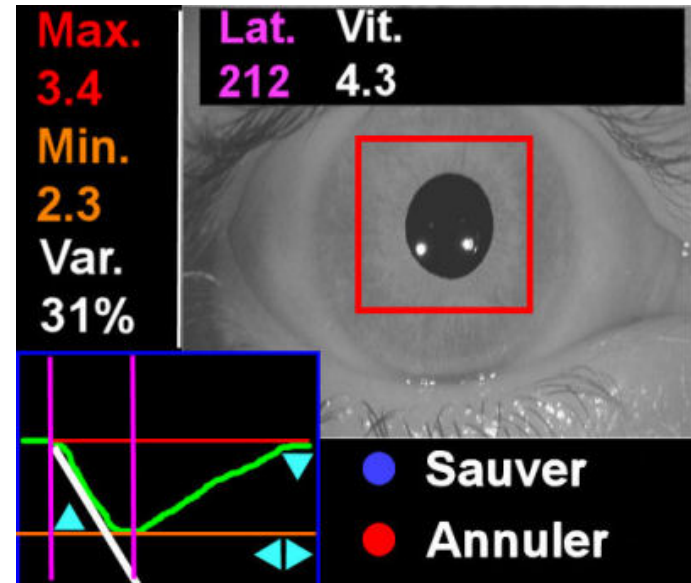




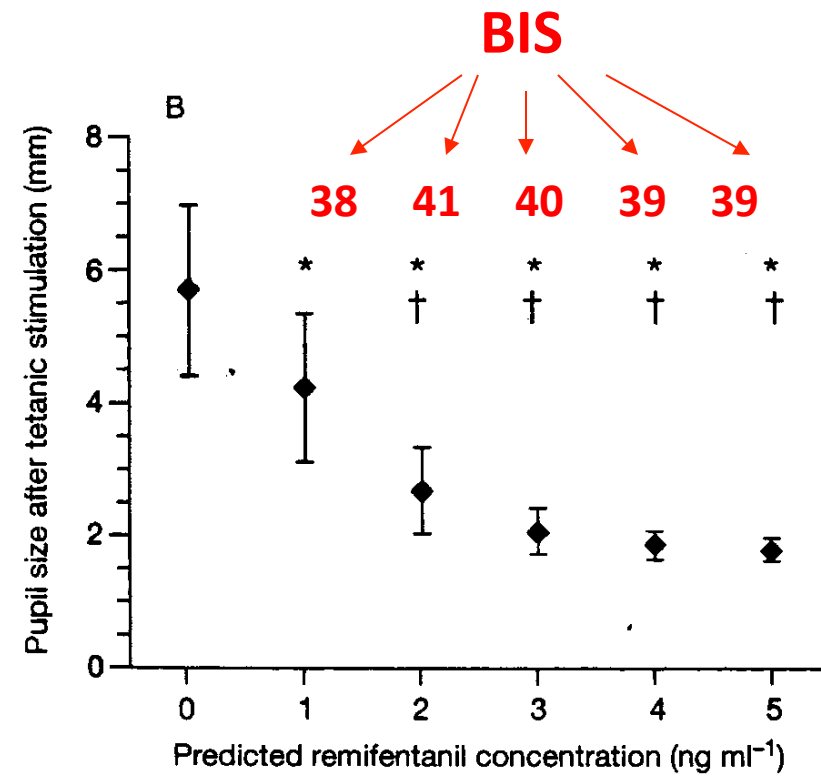
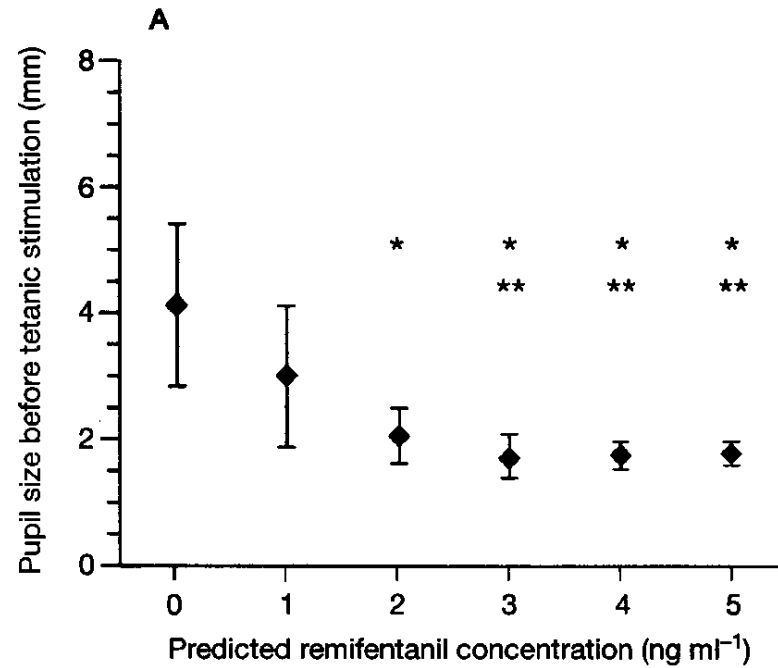
Vidéo Algo Graphe® (Synapsys)



Neuro light® (IDMed)



Effect site concentrations of remifentanil and pupil response to noxious stimulation



Monitoring of analgesia using pupillometry decreases opioid consumption during major gynecological surgery

Nada Sabourdin, M.D., Christophe Dadure, M.D., Ph.D., Nicolas Louvet, M.D., Jerome Barrois, M.D., Isabelle Constant, M.D., Ph.D.
Hôpital Trousseau, Paris, France

40 femmes. Ajustement remi/5': ↑ si Ø ↑ 30%, ↓ si Ø = préop.

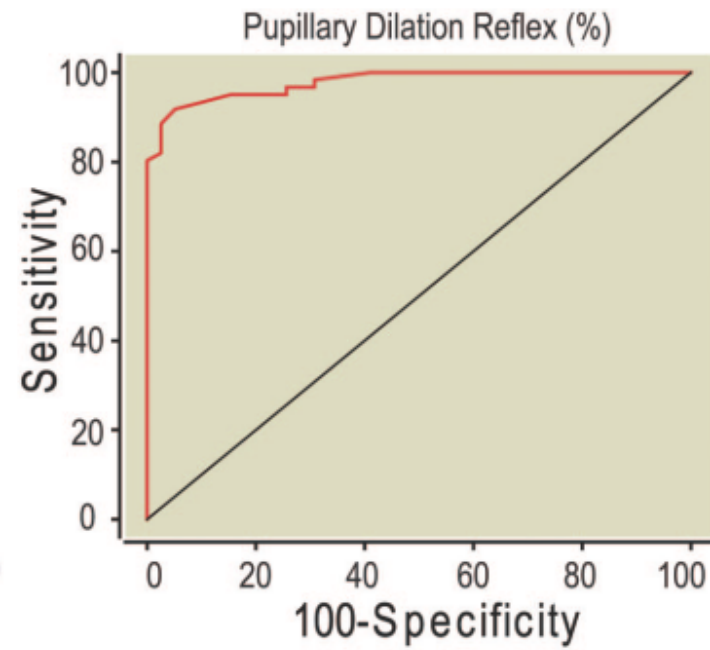
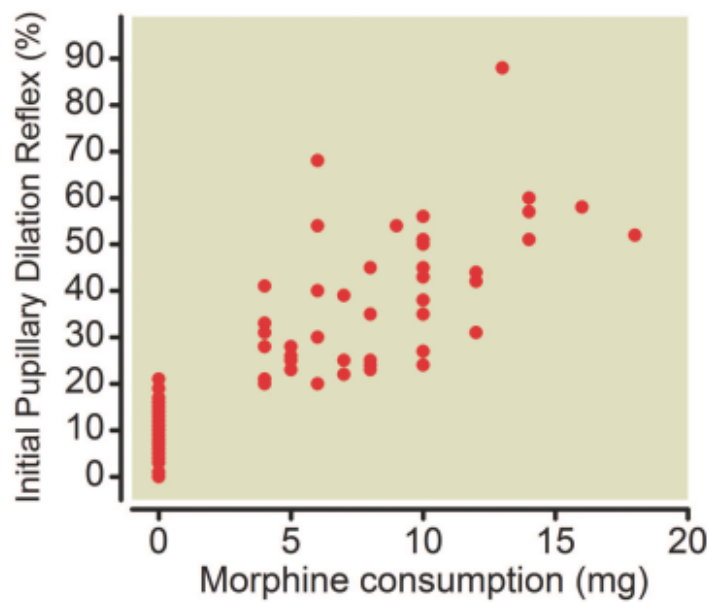
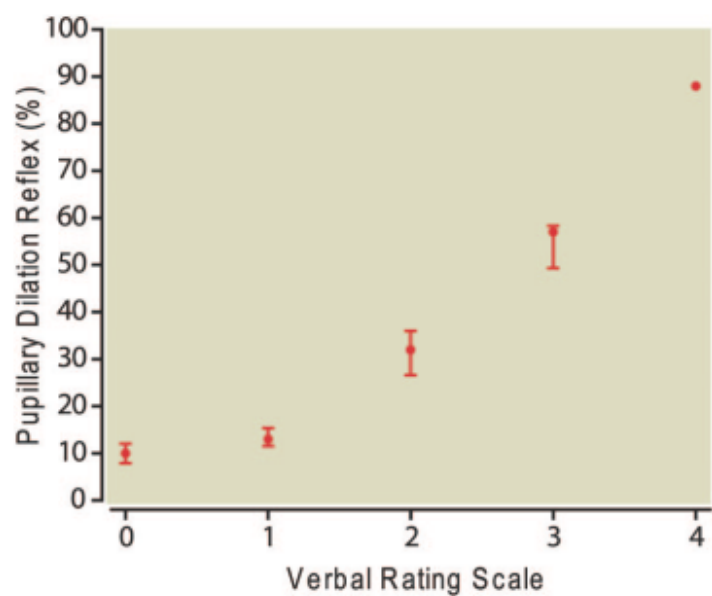
| | Group H | Group P | p |
|---|---------------|---------------|---------|
| Intraoperative Remifentanil (microg/kg/h of GA) | 8.2 +/- 1.8 | 3.9 +/- 0.7 | < 0.001 |
| Intraoperative Propofol (mg/kg/h of GA) | 9.0 +/- 1.2 | 8.3 +/- 1.1 | NS |
| Total Morphine in PACU at H2 (mg/kg) | 0.25 +/- 0.08 | 0.19 +/- 0.07 | 0.02 |
| Total Morphine at H12 (mg/kg) | 0.35 +/- 0.17 | 0.23 +/- 0.1 | 0.01 |
| Total Morphine at H24 (mg/kg) | 0.43 +/- 0.23 | 0.31 +/- 0.2 | 0.1 |

Objective Assessment of the Immediate Postoperative Analgesia Using Pupillary Reflex Measurement

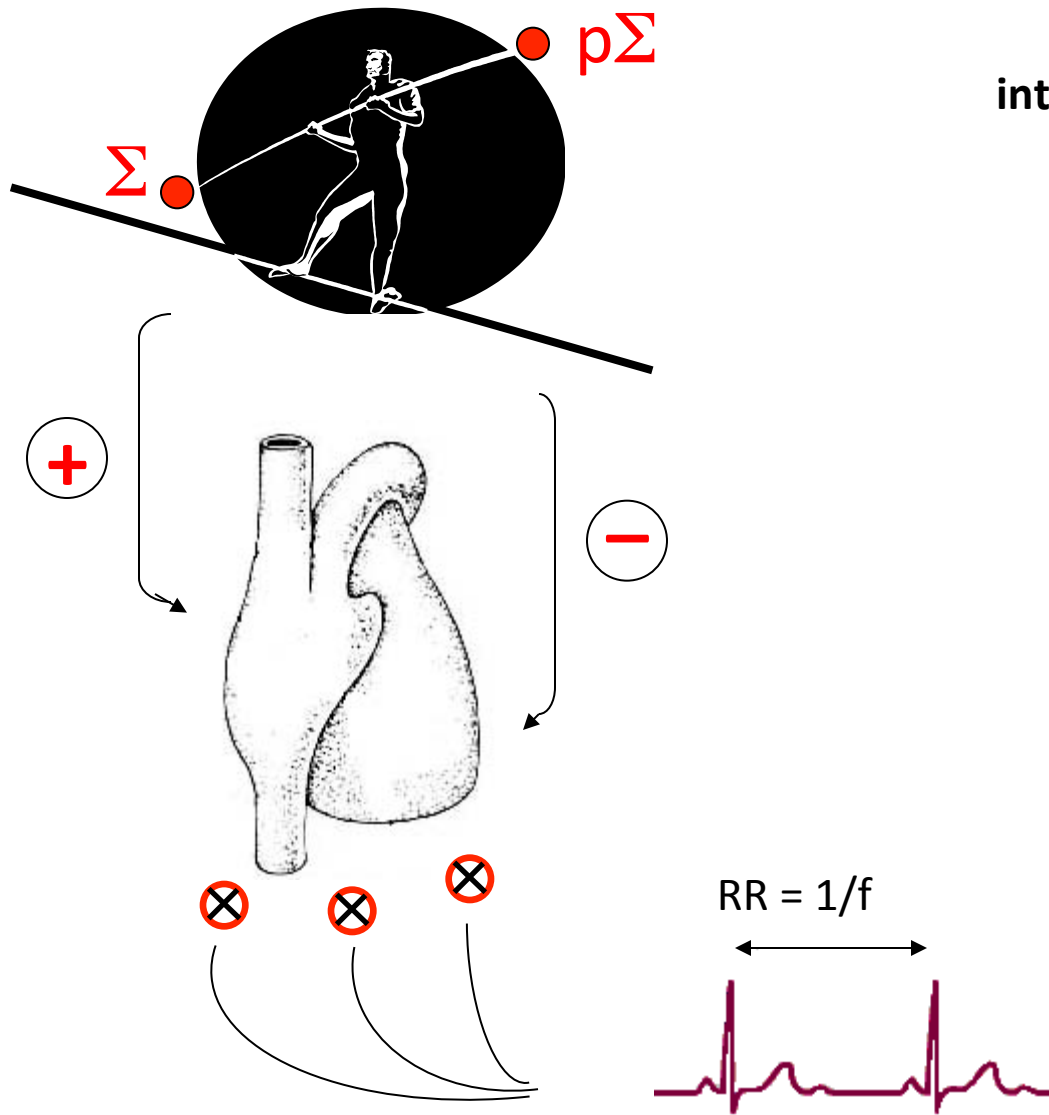
A Prospective and Observational Study

Anesthesiology 2012; 116:1006-12

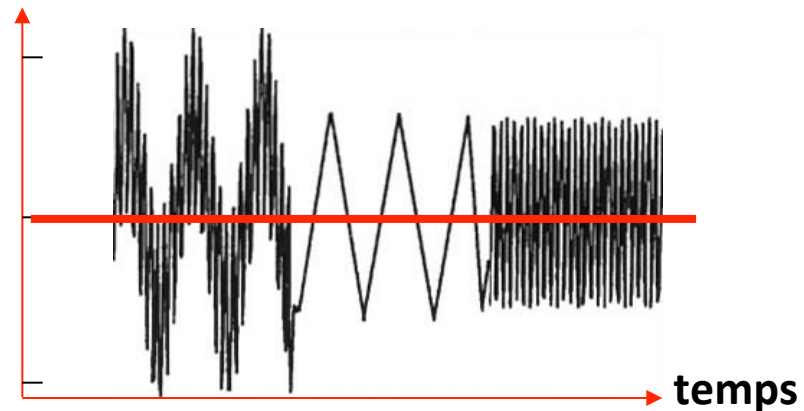
Mourad Aissou, M.D.,* Aurelie Snaeuwaert, M.D.,† Claire Dupuis, M.D.,† Arthur Atchabahian, M.D.,‡
Frederic Aubrun, M.D, Ph.D.,§ Marc Beaussier, M.D, Ph.D.||



Variabilité de la fréquence cardiaque (VFC)



intervalle RR



Variabilité FC:

Respiration

Système Σ et para Σ

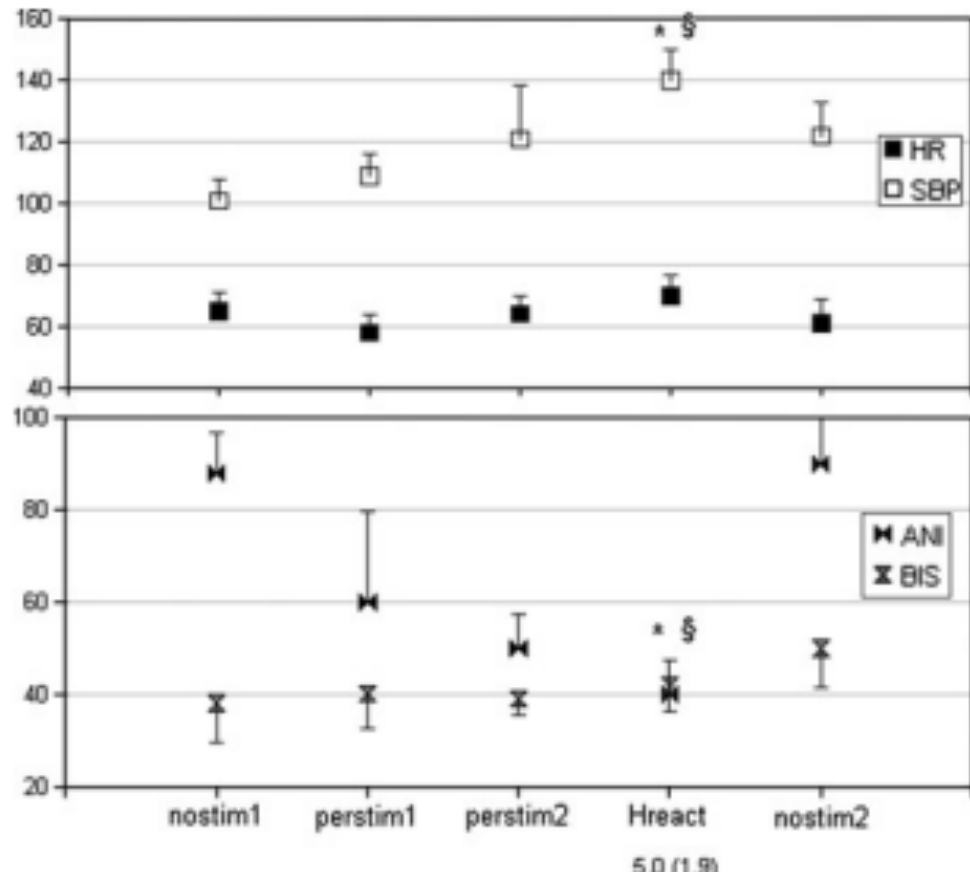
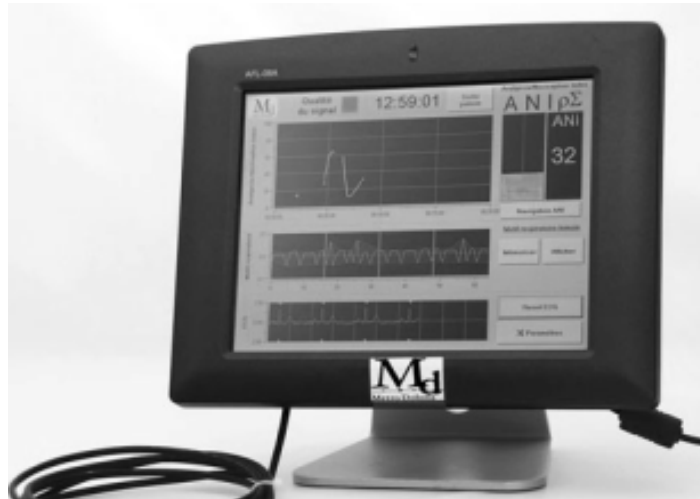
Système rénine-angiotensine

Thermorégulation

Variations of the analgesia nociception index during general anaesthesia for laparoscopic abdominal surgery

M. Jeanne · C. Clément · J. De Jonckheere ·
R. Logier · B. Tavernier

J Clin Monit Comput Published online: 28 March 2012



| | | | | | |
|---------------|-----------|-----------|-----------|-----------|-----------|
| Remi (Ce) | 3.5 (1.6) | 3.5 (1.5) | 3.5 (2.2) | 3.0 (2.2) | 2.5 (1.7) |
| Propofol (Ce) | 3.0 (0.5) | 3.0 (0.5) | 3.0 (0.5) | 3.3 (0.5) | 2.2 (1.1) |

Monitorage de la profondeur de l'anesthésie et de l'analgésie

Monitorage EEG: impact sur la conduite de l'anesthésie

- **sujets chez la titration de l'anesthésie est particulièrement importante et/ou relation dose-concentration-effet particulière**
 - sujets fragiles plan hémodynamique**
 - sujets âgés**
 - sujets obèses**
 - ...
- **situations chirurgicales particulières**
 - coelioscopie**
 - résection hépatique, greffe foie**
 - phaéochromocytome, Tm carcinoïde**
 - chirurgie cardiaque**

Monitorage de l'analgésie

| PAM | ↑ PAM (> 20% PAM) | | PAM habituelle du patient | | ↓ PAM (> 20% PAM) | |
|---|------------------------------------|------------|------------------------------|-----|----------------------------------|------------|
| BIS | SD+ | SD- | SD+ | SD- | SD+ | SD- |
| >60 (>1min) ou $\Delta BIS > 10 + BIS > 60$ (>1min) | arrêt SD ↑ M ± ↑ H | ↑H ± ↑M | arrêt SD ↑ M ± ↑ H | ↑H | arrêt SD ↑ M ± ↑ H | ↑H ± ↑M |
| 40-60 | arrêt SD vérif. M anti-HTA | anti-HTA | IDEAL | | TTT hypotension ± ↓ H ou M | |
| < 40 (>1min) | vérification M ↓ H anti -HTA | | ↓ H | | ↓ H et ± ↓ M TTT hypotension | |

SSI: surgical stress index

ECG

Intervalle R-R

Heart Beat Interval (HBI)



Oxymètre de pouls

Photoplethysmographie
Amplitude du pouls: PPGA



Transformation en histogramme

Transformation en histogramme

Normalisation: distribution cumulative

Normalisation: distribution cumulative

HBI: 0-100

PPGA: 0-100



$$SSI = 100 - (0,7 * PPGAnu + 0,33 * HBI nu)$$

Comparison of the Surgical Pleth Index™ with haemodynamic variables to assess nociception–anti-nociception balance during general anaesthesia

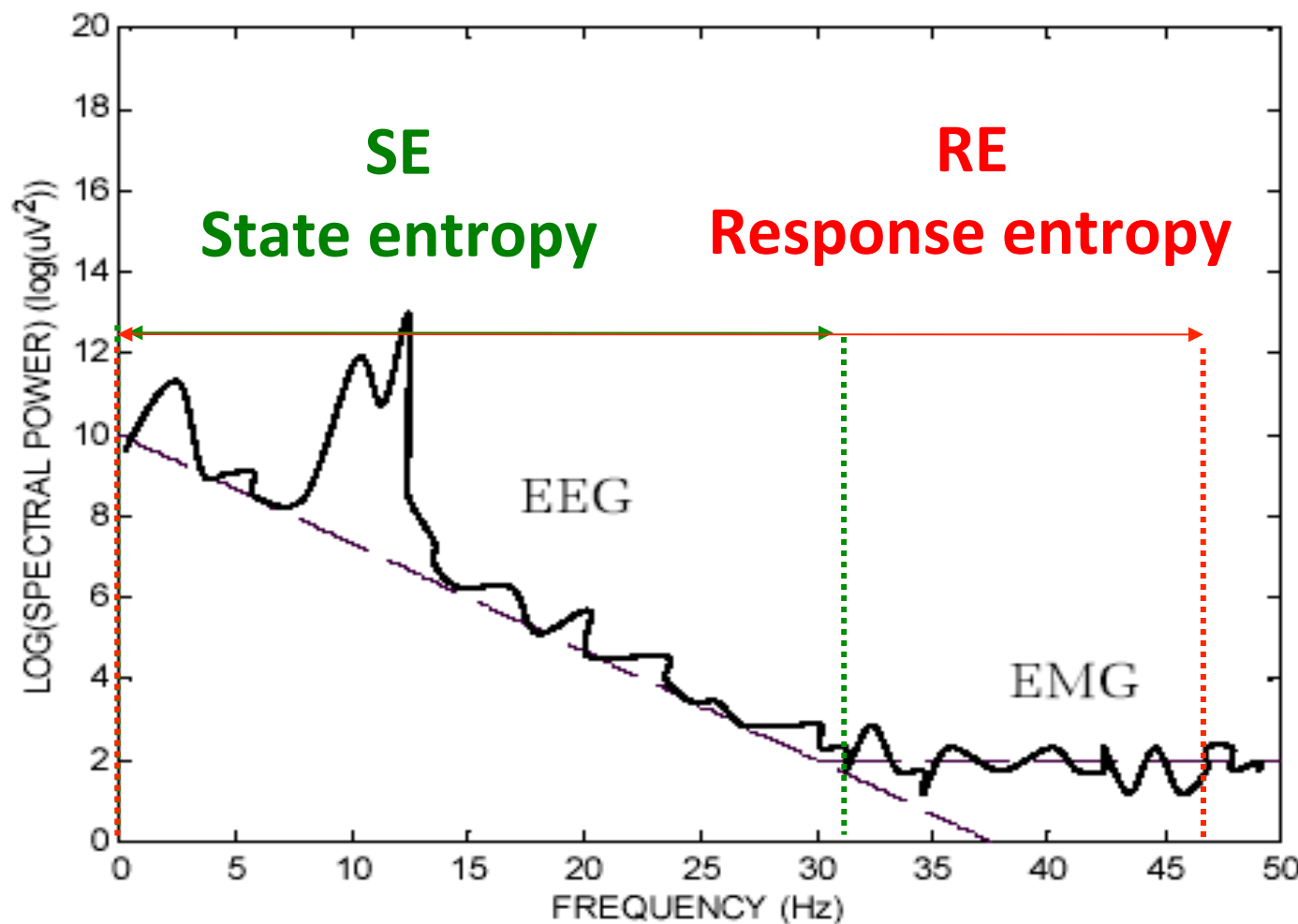
V. Bonhomme^{1,2*}, K. Uutela⁴, G. Hans¹, I. Maquoi¹, J. D. Born³, J. F. Brichant¹, M. Lamy¹ and P. Hans^{1,2}

British Journal of Anaesthesia 106 (1): 101–11 (2011)

Remifentanil concentration

| | Pk (se) | 95 % CI |
|---------|--------------|-----------|
| SPI | | |
| DD | 0.55 (0.07) | 0.41–0.68 |
| Maximum | 0.63* (0.06) | 0.50–0.75 |
| HR | | |
| DD | 0.63* (0.06) | 0.51–0.75 |
| Maximum | 0.67* (0.05) | 0.57–0.77 |
| MAP | | |
| DD | 0.53 (0.07) | 0.39–0.68 |
| Maximum | 0.70* (0.05) | 0.59–0.80 |

Spectral entropy



- Probabilité de prédiction = P_k

Capacité du moniteur à différentier 2 états cliniques

(i.e. réponse versus non réponse à une commande)

Pk = 1: association parfaite entre valeur de l'index et état clinique

Pk = 0,5: association aléatoire !